

# リモートセンシングデータによる多摩川の環境調査について

東京大学工学部 土木工学科 正員 ○玉井 信行  
東京大学工学部 都市工学科 正員 市川 新  
リモートセンシング技術センター 正員 田中 統太郎

## 1. はじめに

河川の流動の実態や水質汚濁現象は複雑で多くの因子が絡み合っており、これらを定量化あるいは評価するに当たっては現状では不完全で避けざるを得ない。本研究は昨年に引き続き、従来の手法では得ることの難しかった河川水質あるいは河川水理学に関する情報を、リモートセンシング技術を利用して短期間のうちに空間的な拡がりを持って得ることを試みたものである。昨年度の報告は冬期の資料に関するものであり、今回の解析は新しく得られた夏期の資料に関するものである。

河川などの大規模な水域での水質を論ずる場合には、その水域の流動形態、すなわち物理的な常数関係が第一義的に重要である。水域における最もスケールの大きな現象は平均流であり、物質はこれによって運ばれ、移動した位置で小さなスケールによる拡散、あるいは生物的・化学的变化を受けるものと考えられる。こうした意味で、静的・固定的な「水質」という概念はあり得ず、その水域の流動形態の中での把握が重要な考え方である。環境計画の観点から考えれば、第1段階としてはマクロな表現が重要であろう。ここでは水質の特性を河川の水理の中から捉えることを目標に、2地点における流動特性を解析した。その1は処理場からの排水の挙動であり、その2は支川の合流点における混合形態である。これらは密度噴流あるいは渦の中心への噴流として解釈でき、希釈率の変化などを推定できることが判った。

## 2. データ収集

マルチスペクトラルスキャナ-M<sup>2</sup>Sについては前報<sup>1)</sup>に述べたので省略する。撮影高度は1060m、飛行速度は237~248km/hrである。撮影は1977年7月24日~27日の4日間に行われ、この期間は晴れであった。表-1の走査線数とは飛行方向、データ数を示し、今回の飛行ではほぼ11~22m毎にデータを取ることになる。すなわち磁気テープ上のデータの1単位は11~22m<sup>2</sup>からの情報を代表していることになる。地上データ収集については羽村堰から調布堰に至る本川約41km区間に

2. 本川15地点  
、支川・排水口  
27(右岸12、左  
岸15)箇所につ  
いて表流水を採  
取り、その水質  
分析を行なった  
。代表的な地点  
ににおける調査期  
間に先行する約

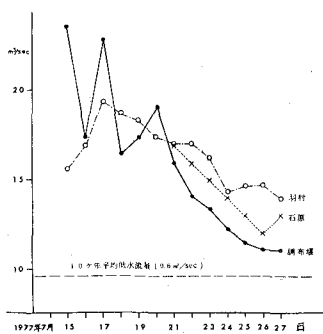


図-1 調査日の流量

表-1 データ収集記録 1977年7月

コース	撮影日	区間	距離	走査線数
1	25	河口 - 蒲田	5 km	4241
2	25, 27	羽田 - 天向	7	3387, 3881
3	24	川崎 - 池上	3	1844
4	27	六郷 - 中丸子	4	2083
5	27	天向 - 馬頭	4	3845
6	27	尾山台 - 白糸	6	4669
7	27	尾山台 - 稲田	7	4048
8	24	清口 - 一是政	7	5378
9	24	調布 - 曽野	6	4710
10	24	蓮光寺 - 立川	6	4084
11	24	谷保 - 高月	8	5171
12	24	石川 - 青梅	7	5024
13	24	昭島 - 青梅	7	4351
14	24	青梅 - 梅郷	7	3097
15	24	国立 - 宇賀	5.5	3978
16	24	強之内 - 大目	5	3375

2週間の流量の変化を図-1に示す。これを見ると調査日は安定した低水流況を示していることがわかる。調布堰の流量  $11 \text{ m}^3/\text{sec}$  は過去10年間の平均低水量  $9.6 \text{ m}^3/\text{sec}$  を上回るが、流量が安定している事から考etteの期間の代表的な流況であると言えられた。前年度に行なった冬季の撮影時の流量が  $7.5 \text{ m}^3/\text{sec}$  であることを考慮すると、冬季の資料より若干流量が多いことがわかる。

### 3. 画像処理

画像処理のフローを図-2に示す。撮影された High Density Digital Tape は記録された情報を CCT (Computer Comparable Tape) に転写し、それを基にして MDAS 解説装置を用いて TV 上に擬似カラー図、温度図を出力させることができ。この段階では河道に沿う撮影範囲の全域を対象とするため、水域の温度差の外を多段階に分類して水塊の運動を見ることは十分に行なうことができる。そこでこの CCT を転換複写して IMAGE 100 に画像提示した。

IMAGE 100 上ではカーソルの指示により指定した領域内の最高・最低温度を 8 等分した表示が可能である。この 8 等分した温度スライスについてどのような組合せについても出力できるので、等温線図を描き易いように出力させ

、 $35 \text{ mm}$  カラースライドに撮影し解析した。このようにして得られる温度指標は相対的なものであり、絶対値を知るには他の情報源が必要である。カーソルの位置を変えるとその領域に含まれる最高・最低温度が異なり、1つの色調が表示する温度範囲は異なってくる。夏期、場合には本川の排水との温度差は  $2 \sim 3^\circ\text{C}$  であり、陸地の最高温度は  $40^\circ\text{C}$  越えるまでカーソルの位置の選定は非常に難しい。カーソル内に陸地(例えば砂洲)の高温部が入り、1つの色調の温度範囲が  $2.5^\circ\text{C}$  程度となり、河川水はすべて一様の温度指標となり能性がある。ここでは1つの色調の温度範囲を  $0.3 \sim 0.4^\circ\text{C}$  としたが、多摩川本川水との差異という観点から出力した8段階の変化を利用して、3~4段階の遷移過程を追跡できるに止つる。

### 4. 立川処理場からの排水の運動について

立川下水処理場は1955年に計画され、1967年に運転が開始された。同処理場の計画面積は  $112 \text{ ha}$  で、これが現在は  $96 \text{ ha}$  で、処理区域内人口約 90 万人、水洗化人口約 50 万人である。処理方式は合流式で、活性汚泥法のステップエアレーションである。処理水の水質の例として、BOD は  $5.6 \text{ mg/l}$  であった。この処理水と本川との混合過程を定量的に評価するために、この付近の温度分布を IMAGE 100 による資料で検討する。IMAGE 100 によれば得られた色調のパターンから等温線図を描いたのが図-3である。これを概観すると、清瀬川からの水塊の水温は本川とはほぼ同一であり、処理場からの排水は外線の形状は複雑であるがまだ塊状の本川水の中へ拡がっていることがわかる。本川水は底層していけるので処理水の混合は上下流方向へ対称ではなく、ではないが、大略の様子は

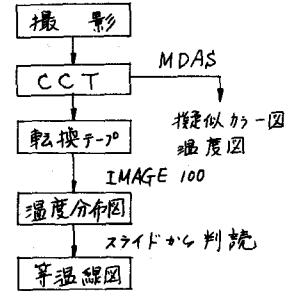


図-2 画像処理のフロー

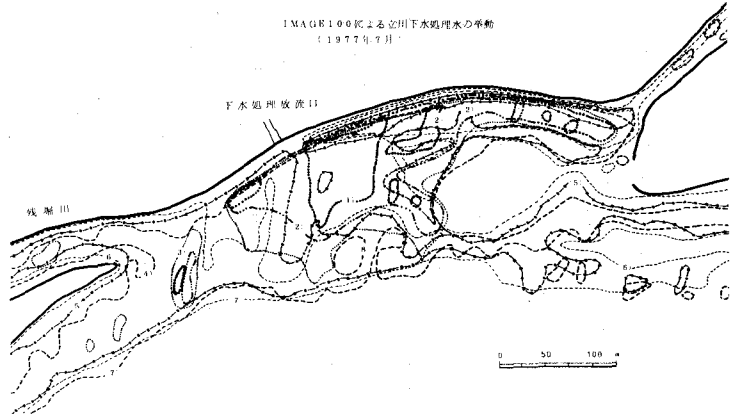


図-3 IMAGE 100 による立川下水処理水の挙動

静止流体中へ放出された表面密度噴流との類似性が高いので、これらに関する従来の成果との比較を中心に考察する。

#### 4.1 観測された水理量

排水量  $Q = 0.30 \text{ m}^3/\text{sec}$ , 排出速度  $U = 0.52 \text{ m/sec}$ , 排水水温  $22.3^\circ\text{C}$  ( $\rho_0 = 0.9977308$ ), 環境水温(本川水温)  $23.9^\circ\text{C}$  ( $\rho = 0.9973502$ ), 排水口 内形・最大水深  $0.6 \text{ m}$ ・水面幅  $1.6 \text{ m}$   
等温線に囲まれた面積(図-3 参照)

- |          |                     |
|----------|---------------------|
| 1. ----- | $11 \text{ cm}^2$   |
| 2. ----- | $41 \text{ cm}^2$   |
| 3. ----- | $51.5 \text{ cm}^2$ |

図-3に記入されているランク4, 5, 6の等温線が記入されており、ランク4の等温線は摩川本川の水域を大く覆い、これより、この温度を本川の温度ではなく環境水温と判定した。この水温は直接測定されていないが、次のようにして算出された。日野橋における水温は  $25.4^\circ\text{C}$  であり、排水との温度差は  $+3.1^\circ\text{C}$  である。これが IMAGE 100 の上でランク4に割り当てられた。等温線のランク4差は水温差  $0.4^\circ\text{C}$  である。環境水温は排水水温より  $1.6^\circ\text{C}$  高い温度とした。また、上記の面積は図上における面積で、縮尺は  $1/2500$  である。

#### 4.2 排水の影響面積について

100m 工場からの着色した排水の拡がり面積  $Y(\text{m}^2)$  と排水量  $X(\text{m}^3/\text{day})$  の間に式(1)が提案されている<sup>2)</sup>。またこれは大略  $60 \sim 100$  倍の希釈率に対応する境界と言われている。

$$\log Y = 1.2261 \log X + 0.0855 \quad (1)$$

処理場からの排水量は  $0.30 \text{ m}^3/\text{sec}$  であるからこれを日単位に換算すると  $X = 2.59 \times 10^4 \text{ m}^3/\text{day}$  であり、式(1)によると予測される拡がり面積は

$$Y = 3.14 \times 10^5 \text{ m}^2 \quad (2)$$

#### 4.3 観測値

$$Y_{ob} = 51.5 \times 25^2 = 3.22 \times 10^4 \text{ m}^2 \quad (3)$$

であり、予測値より 10 倍小さい値を示す。しかししながら観測値の第3ランクの等温線の希釈率を言えば 4 倍程度に相当しており、予測値に対する大きな希釈率との面積は式(3)よりは増大すると思われる。因みに立川処理場付近の第4ランクの等温線(環境水温と一致、希釈率  $\infty$ )に囲まれた面積は  $120 \text{ cm}^2$  であり、式(3)の観測値は約 2 倍となる。

式(1)は海面におけるバルブ排水の拡がりから経験的に得られた式である。今回は処理場からの排水の方が水温が低く密度が大きであるので、傾向としては排水水は周囲水の中へ込み込んでいく形態をとることも、影響水域が式(1)による予測値よりも小さくなる原因と思われる。従って希釈率による補正を考慮としても、式(1)による予測は温度影響面積の観測値より 2~3 倍大きな結果をうけるものと思われる。

#### 4.3 密度噴流とそこでの場合の解析<sup>3)</sup>

4.1 の観測結果。項で述べたように、排水と環境水との間に  $3.878 \times 10^{-4} \text{ g/cm}^3$  という微小な密度差がある。今回の場合には放出水の密度が大きであるのでいわゆる負の密度噴流となる。こうした現象における支配的公無次元パラメータは密度フルード数であり、放出口における値は

$$F_{D0} = \frac{U}{\sqrt{(\Delta\rho/\rho)gh}} = 10.9 \quad (4)$$

である。従来の成果を参考にするとき、放出口における密度フルード数の値が 10 以上の場合には運動量の効果が卓越する領域を考えられる。従って、浮力の効果は正であれ負であれ現象に与える影響はそれ程大きくはないを予測される。観測された等温線の形状は不規則であるが塊状を成しているので、面積の等しい等価半径に換算して

議論を進める。結果を一覧表にしたのが表-2である。ここに  $\Delta T_0$  は放出口における環境水との温度差、 $\Delta T$  は各等温線上の環境水との温度差、 $A$  は各等温線の圓形圓上での面積、 $r_0$  は等温半径、 $B$  は放水口の水面幅で  $1.6\text{ m}$  である。

この関係を示したのが図-4である。図中の実線は密度フルード数が  $18 \sim 180$  の範囲で行なわれた実験の中央値を示し、この結果は一様流体中の噴流の速度の減衰関係と類似である。また一点鎖線は空气中への放熱のみを考えた場合の理論解で、周囲水との混合が生ずるから実際に生ずる噴流中心軸上の温度変化ほどの割合よりも遅くなる。これらの理論および実験は静水を対象として考察されており、この点も立川水への放流という実際の条件と異なっているが、対象として水域は流れの停滞する部分であり、等温円に置換して密度噴流としての解析を適用すれば大略の温度変化を追跡できる。図-4に見られる実測値の特徴は、放水口の代表長さの  $100$  倍程度までの距離では周囲水との混合が強んで行なわれず専ら空気中の熱交換が主であり、これを越えると急激な温度変化を生じている。これは放出水の表面積がある範囲を越えると薄層流となり、急激に周囲水との接触面積が復元、周囲水と同化するものと思われる。これは実線で示された噴流の場合と類似で、最終段階では  $\Delta T / \Delta T_0$  は  $(x/B)^{-2}$  に比例して減少していくと思われる。

#### 4.4 日野橋の水質について

立川処理場のすぐ上流からは図-3にも示される通り同じ左岸側から残堀川が流入している。残堀川の水温は  $24^\circ\text{C}$  と本川とほとんど差がない、水質は77年7月の今回の判定例でBODが  $12\text{ mg/l}$  と汚染されている。また立川処理場から下流  $220\text{ m}$  地点に日野橋があり、ここでの冬季および夏期のリモートセンシングデータ収集日ににおける水質は表-3の通りである。前述の如く、立川処理場の前面水域では流水中の混合の強度が小さく、残堀川および処理場からの排水は左岸に沿って流下すると考えられる。その結果、日野橋において左岸にかけて水質がかなり異なり、BOD、CODなどでは左岸における値が右岸における観測値に比べてかなり大きくなっている。

### 5 平瀬川合流点付近の混合形態

#### 5.1 観測された水理量

平瀬川流速  $U = 0.31\text{ m/sec}$ 、合流点より平瀬川の川幅  $15\text{ m}$ 、合流点より平瀬川最大水深  $0.82\text{ m}$ 、

平瀬川の水温  $26.4^\circ\text{C}$  ( $\rho_0 = 0.9967057$ )、多摩川の水温  $27.7^\circ\text{C}$  ( $\rho = 0.9963472$ )、

本川の流量(二子橋)  $11.9\text{ m}^3/\text{sec}$ 、合流角度  $37.35^\circ$

等温線に囲まれた面積(図-5参照)

表-2 水温の変化特性

$\Delta T / \Delta T_0$	$A (\text{cm}^2)$	$r_0 (\text{cm})$	実距離(m)	$x_0/B$
0.75	17	1.87	46.8	58
0.50	41	3.61	90.3	112
0.25	51.5	4.05	101.3	126

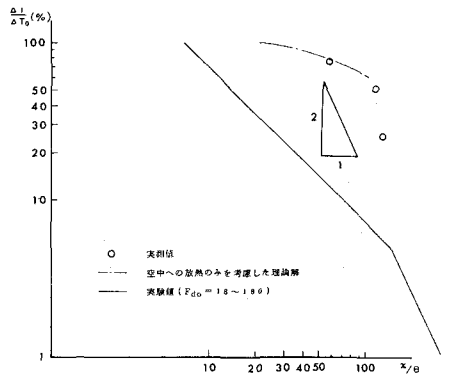


図-4 水温の変化(立川処理場)

表-3 日野橋の水質(左・右岸の比較)

	1976年12月		1977年7月25日	
	左岸	右岸	左岸	右岸
水温 $^\circ\text{C}$	12.8	8.3	25.4	27.1
pH	7.50	7.72	7.58	7.65
電気伝導度 $\mu\text{S}/\text{cm}$	392	249	305	197
DO $\text{mg/l}$	8.23	12.49	8.87	8.75
BOD $\text{mg/l}$	20.7	3.8	7.1	2.9
COD ( $M_n$ ) $\text{mg/l}$	16.8	4.5	6.3	2.7
溶解物質 $\text{mg/l}$	32.9	—	7.3	6.5
ケルダール窒素 $\text{mg/l}$	4.2	3.6	2.2	3.0
アンモニア性窒素 $\text{mg/l}$	3.4	3.3	1.1	0.5
亜硝酸性窒素 $\text{mg/l}$	0.2	0.2	0.3	0.2
硝酸性窒素 $\text{mg/l}$	4.1	3.3	2.7	2.0
全窒素 $\text{mg/l}$	8.5	7.2	5.2	5.3

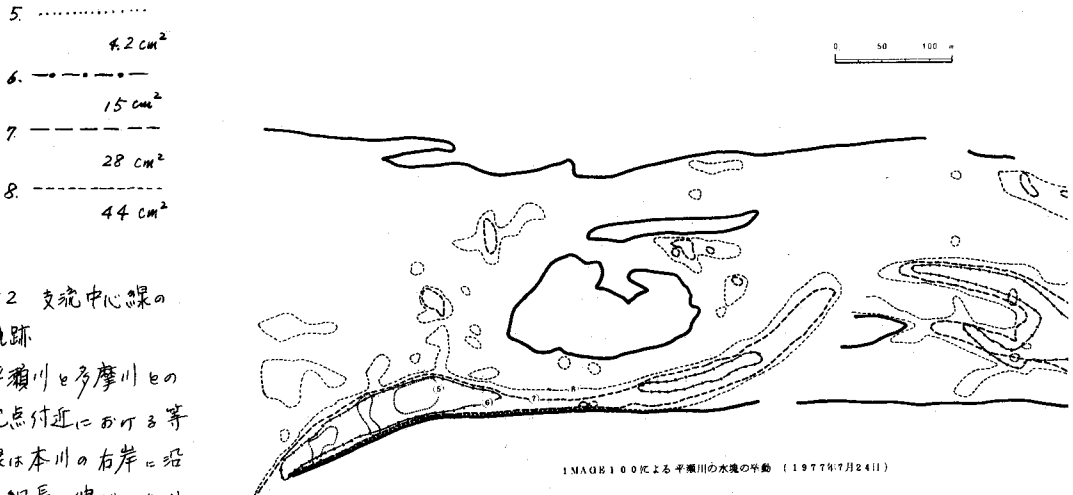


図-5 IMAGE 100 による平瀬川水塊の挙動

### 5.2 支流中心線の軌跡

平瀬川と多摩川との合流点付近における等温線は本川の右岸に沿って細長く伸びており、前節で取扱ったように解説は適用できない。

これは合流角度が緩やかなためで、流れが右岸側に寄り、本川の流速も合流点付近でかなり大きくなっているためと考えられる。密度差を含んだ解析에서는、流れの中へ放出される密度噴流の解析が行なわれているが、これらはすべて密度差のある流体の鉛直方向の混合を対象としている。今回の場合は水平面内の混合が考察の対象であるので密度効果の発現する方向が異なる。密度差はかなり小さいので、ここでは均質な流体が支流から合流する場合の速度場の解析結果を準用して観測値との比較を行なう。今回の資料は負の浮力を有する流体が合流しているが、擬似カラーワ写真による圓面から判断すると全體の流況は冬期の観測。場合(正の浮力を有する流体が合流)と変化がないので、このことからも浮力の効果が非常に卓越しているとは言えないことがわかる。

合流角度  $\theta$  を支川が合流するとき、支流中心線の軌跡については次式が提案されている。<sup>4)</sup>

$$\left( \frac{x - y \cot \theta}{x_{\max} - y_{\max} \cot \theta} - 1 \right)^2 + \left( \frac{y}{y_{\max}} \right)^2 = 1 \quad (5)$$

ここに  $x, y$  は合流部中央点から主流の方向及びそれに直角方向に取れた座標であり、添字 max は最大貫入点における座標値を示す。次式(5)は最大貫入点までの軌跡を対象としており、これを過ぎると支流中心線はやや岸寄りに近づき滑らかに主流方向を改めると考えられる。また  $y_{\max}, x_{\max}$  のように示される。

$$\frac{1}{2} \frac{Q_o}{Q_M} + 1 = \left( 1 - \frac{y_{\max}}{B_M} \right) \left( 1 + \frac{Q_o}{Q_M} \right)^2, \quad \frac{x_{\max}}{B_M} = \frac{y_{\max}}{B_M} \cot \theta + 0.04 \theta^{\circ} \left[ \frac{Q_o}{Q_M} \left( \frac{B_M}{B_o} \right)^{\frac{3}{2}} \right]^{0.7} \quad (6)$$

ここに  $B_M$  は主流の水面幅、 $B_o$  は支流の水面幅、 $Q_M$  は主流流量、 $Q_o$  は支流の流量である。合流点付近の平瀬川の水深を  $0.8 m$  とすれば  $Q_o = 3.72 m^3/sec$  であり、

$Q_o/Q_M = 0.313$  である。また  $B_M/B_o \approx 3$  であるから次式を得る。

$$\frac{y_{\max}}{B_o} = 0.99, \quad \frac{x_{\max}}{B_o} = 5.85 \quad (7)$$

式(7)の指標を用いて式(5)から中心線の軌跡を描いたのが図-6 における曲線①である。これによれば支流中心線の軌跡はあくまでも式(5)による予測に一致している。しかし  $x/B_o$  が 3 程度を超えると砂

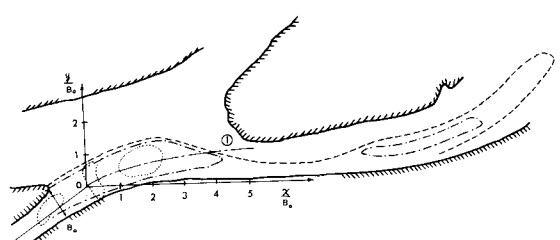


図-6 支流中心線の軌跡

洲により流域が分成される。主流が加速され、平瀬川からの合流水は強い剪断により大きく引伸ばす水のひ、細部の状況は変化していくことがわかる。

### 5.3 温度差の遮蔽特性

支川が本川に合流した後の合流水の速度分布については実験が行われている<sup>5)</sup>。その結果によれば運動量の輸送については通常の2次元噴流の解析を適用することができることが確認され、横方向の渦動拡散係数などが求められている。2次元の噴流においては噴流中心軸に沿う流速の変化は  $U_{max} \propto x^{-1/2}$  である。渦動拡散係数が渦動粘性係数に等しいとすると、中心軸に沿う温度の遮蔽特性も同一となり ( $\Delta T / \Delta T_0 \propto x^{-1/2}$ ) と考えられる。噴流中心軸の曲がりは小さいから、中心軸に沿う距離と流れの方向の直線距離とは等しいと見做す。図-5より  $\Delta T / \Delta T_0 = 0.8, 0.6, 0.4, 0.2$  の4ランプに対して  $x/B_0 = 2, 4, 8, 9$  を判定する。頗る部分が長く伸びてある部分は折返して、噴流中心軸の周りに集約して差を生む。この結果を示したのが図-7であり、合流点付近での変化はほど  $x^{-1/2}$  に比例していき  $x/B_0$  が10程度になると減衰率が指数的に増大し、周囲水との同化過程は加速される結果となっていく。

## 6.まとめ

- 1) 汚理場からの排水および支川の合流点付近の流れの場を水温のリモートセンシングデータを用いて解析した。この結果、従来の密度噴流あるいは均質流体の噴流理論の適用により混合形態の推測が可能であることがわかった。
- 2) 板出日付近くの水理に関しては従来の成課の拡張が可能であるが、これと離れて対象地点の河床(例えば、洲、瀬戸の形態)が現象を支配する重要な因子となってくる。
- 3) 河川における横断方向の拡散は非常に小さい。従って、従来からも言われているが、例えば左岸から排出された物質はかなり下流まで主に左岸に影響を与えると言よい。
- 4) リモートセンシングデータは面的な流れの把握に有効であり、これを用いて河川における混合の機構を論ずることが可能であることがわかった。水質を直接判断するためには、今後もグラウンドトゥルースを充実させる必要がある。

**謝辞:** 本論文に用いたリモートセンシングデータは建設省京浜工事事務所が撮影したものであり、リモートセンシング技術センターにおいて画像処理が行なわれた。記して関係各位に深く感謝する次第である。

## 参考文献

- 1) 市川 新・玉井信行・田中綾太郎: 水質解析および河川水理学へのリモートセンシング技術の応用, 第5回環境問題シンポジウム集, 土木学会, 74, 1977.
- 2) 新田忠雄: 海洋域における工場排水の希釈と拡散について, 用水と廢水, 5, 416, 1962.
- 3) 玉井信行: 水域における混合問題への水理学的アプローチ(I), 水利科学, No.106, 1, 1975.
- 4) 板倉忠興・須藤靖彦: 河川合流点における流れの機構の研究, 第25回年次学術講演会, II-125, 1970.
- 5) 板倉忠興・須藤靖彦: 河川合流点における流れの機構の研究, 第26回年次学術講演会, II-89, 1971.

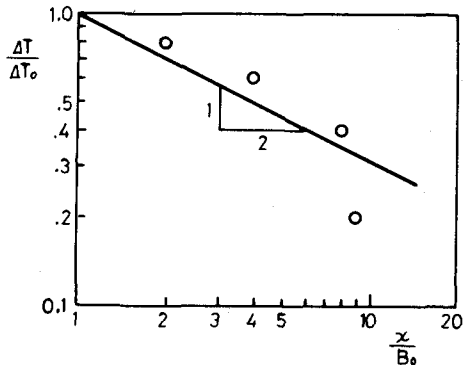


図-7 温度差の遮蔽(平瀬川合流点)